

استفاده از روش بازنمونه‌گیری داده‌ها

در تدقیق رابطه‌ی پیش‌بینی حرکت زمین

بور - اتکینسون ۲۰۰۸

زینب رفیعی (دانشجوی کارشناسی ارشد)

علیوضا آذربخت^{*} (دانشیار)

زینت رجی (کارشناس ارشد)

مهندسی عمران، دانشکده فنی مهندسی، دانشگاه اراک

مهندسي عمران، (روستان)، ۱۳۹۸/۱۳، (يادداشت قم)
دورى ۳ - ۵، شماره ۱/۴، ص.

در بیشتر مطالعات بررسی کاهش خسارت‌های ناشی از زلزله، اقدام به تحلیل خطر زلزله و همچنین پیش‌بینی جنبش حرکت زمین توسط روابطی موسوم به روابط پیش‌بینی حرکت زمین انجام می‌شود. هدف نوشتار حاضر، دستیابی به رابطه‌ی پیش‌بینی حرکت زمین با میزان پایداری بالاست. بدین منظور به بهینه‌سازی ضرایب مدل پیش‌بینی بور و اتکینسون (۲۰۰۸) پرداخته شده است. برای تحقیق هدف ذکر شده از الگوریتم ژنتیک با تابع هدف معیار بیشینه درست‌نمایی برای افزایش میزان تناسب رابطه بر روی مجموعه‌ی داده‌های مورد استفاده و تابع هدف بازنمونه‌گیری داده‌ها برای افزایش پایداری رابطه استفاده شده است. داده‌های مورد استفاده در مطالعه‌ی حاضر، بخشی از داده‌های جهانی مرکز مطالعات مهندسی زلزله‌ی پاسفیک با تعداد ۱۵۳۴۸ رکورد بوده است. به منظور ارزیابی مدل اشاره شده، آزمون‌های آماری بر روی آن انجام و نتایج به دست آمده با ۸ مدل از روابط نسل جدید مقایسه شده است. نتایج مقایسه‌ی پژوهش حاضر حاکی از آن است که مدل به دست آمده، کمترین میزان بیشینه درست‌نمایی (LLH) به مقدار ۱/۹ و همچنین پایدارترین رابطه از نظر معیار بازنمونه‌گیری داده (RSA) با نموداری صعودی و نزدیک‌ترین به عدد ۱ است. نتایج سایر آزمون‌های آماری، از جمله: معیارهای خطأ، معیار ضریب تعیین، و معیار کارایی با نتایج به ترتیب ۸۶، ۹۸، ۰، ۱۹ و ۸۸ نیز حاکی از قابل قبول بودن و کارایی مدل اشاره شده است.

وازگان کلیدی: مدل کاهنگی بور و اتکینسون (۲۰۰۸)، بیشینه‌ی شتاب زمین، بهینه‌سازی، الگوریتم ژنتیک، مرکز مطالعات مهندسی زلزله‌ی پاسفیک، بیشینه‌ی درست‌نمایی، بازنمونه‌گیری داده.

۱. مقدمه

یکی از اصلی‌ترین اجزاء تحلیل خطر لرزه‌ی است.^[۱] تاکنون روابط پیش‌بینی حرکت زمین متعددی توسط برخی پژوهشگران برای نواحی مختلف لرزه‌خیز ارائه شده است که هر کدام از آن‌ها نقاطه ضعف و قدرتی دارند. با گذشت زمان و ارائه‌ی روش‌های جدید ریاضی و آماری، ارائه‌ی یک رابطه‌ی کاهنگی که بتواند نتایج قابل قبولی در آزمون‌های اخیر داشته باشد، امری ضروری و مهم به نظر می‌رسد.

در سال ۲۰۰۹، مطالعه‌ی که منجر به حصول یک رابطه‌ی پیش‌بینی حرکت زمین جدید براساس روش برنامه‌نویسی ژنتیک شده است، توسط کمالار و سویک برای ناحیه‌ی لرزه‌خیز ترکیه صورت گرفته است.^[۲] که در آن با استفاده از مجموعه‌ی از معتبرترین داده‌های ترکیه، مدل کاهنگی چهت پیش‌بینی بیشینه‌ی شتاب زمین

با توجه به ماهیت تصادفی پدیده‌ی زلزله، برآورد نیروهای ناشی از زلزله در چارچوبی به نام تحلیل خطر لرزه‌ی^۱، صورت می‌پذیرد.^[۱] تحلیل خطر لرزه‌ی، شامل مراحل مختلف، از جمله: برآورد پارامترهای جنبش نیرومند زمین با استفاده از معادلات پیش‌بینی حرکت زمین (GMPEs)^۲ است. با توجه به اینکه پارامترهای جنبش زمین با دور شدن از منع زمین‌لرزه کاهش می‌یابند، این مدل‌ها به مدل‌های کاهنگی معروف هستند. بنابراین از مهم‌ترین اهداف پژوهشگران در تحلیل خطر لرزه‌ی، پیدا کردن مناسب‌ترین و کارایی‌ترین رابطه‌ی پیش‌بینی حرکت زمین به عنوان

* نویسنده مسئول

تاریخ: دریافت ۲۹، ۱۳۹۶/۹/۱، اصلاحیه ۱۴، ۱۳۹۷/۱/۱۴، پذیرش ۲۸، ۱۳۹۷/۱/۲۱

DOI:10.24200/J30.2018.5685.2262

۲. داده‌ها و روابط مورد استفاده

داده‌های نسل جدید روابط پیش‌بینی حرکت زمین (۱۴)، بانک اطلاعاتی جامعی است که شامل ۱۵۳۴۸ رکورد از رکوردهای ثبت شده از زلزله‌های سطحی پوسته‌بی در نواحی فعال لرزه‌بی در سراسر جهان است. از جمله پارامترهای موجود در داده‌های ذکر شده، بزرگاً و مکان است.

پارامترهای موردنیاز در رابطه‌ی منتخب ارائه شده در پژوهش حاضر، بزرگاً^{۱۰} (M)، فاصله (R_{jb})^{۱۱}، سرعت موج بر Shi (۷^{۲۰})^{۱۲}، نوع گسلش^{۱۳} و پیش‌بینی شتاب مشاهده شده زمین لرزه (PGA) است. مجموعه داده‌های مورد استفاده در مطالعه‌ی حاضر، بخشی از پایگاه داده‌های نسل جدید روابط پیش‌بینی حرکت زمین در سال ۲۰۱۴ است که براساس محدودیت‌های ارائه شده در نوشتار کمپل و بزرگ‌نیا (۲۰۱۴) به دست آمده است.^{۱۴} لازم به ذکر است که محدودیت‌های اخیر مشابه با محدودیت‌های ارائه شده در نوشتار بور و آتکینسون (۲۰۱۴) بوده است که به دلیل شفاف بیان نشدن در نوشتار بور و آتکینسون، از نوشتار کمپل و بزرگ‌نیا (۲۰۱۴) استفاده شده است.تابع منتخب به منظور بهینه‌سازی در مطالعه‌ی حاضر، رابطه‌ی بور و آتکینسون (۲۰۰۸)^{۱۵} است. رابطه‌ی بور و آتکینسون (۲۰۰۸)، یکی از روابط پیش‌بینی حرکت زمین نسل جدید است که سازگاری مناسبی بین مقادیر پیش‌بینی شتاب زمین مشاهده شده و پیش‌بینی شده دارد. علت انتخاب رابطه‌ی ذکر شده از بین روابط نسل جدید، کم بودن تعداد پارامترهای ورودی آن است که می‌تواند باعث کاهش عدم قطعیت‌های حاصل از تبدیل پارامترها (به ویژه در مناطقی که پایگاه داده‌های آن‌ها از نظر پارامترهای لرزه‌بی ناقص است) شود. رابطه‌ی پیش‌بینی حرکت زمین بور و آتکینسون (۲۰۰۸)^{۱۶} با استفاده از زیرمجموعه‌ی از داده‌های نسل جدید روابط پیش‌بینی حرکت زمین، شامل ۱۵۷۴ رکورد از ۵۸ رکورد زلزله و با هدف تخمین پیش‌بینی شتاب زمین، پیش‌بینی حرکت زمین عبارت‌اند از: بزرگاً (M)، فاصله‌ی افقی تا محل گسیختگی (R_{jb})، سرعت موج بر Shi در عمق ۳۰ متری (۷^{۲۰}) و نوع گسلش (رابطه‌ی $[۸]$).^{۱۷}

$$\ln Y = F_M(M) + F_D(R_{JB}, M) + F_S(V_{S^2}, R_{JB}, M) + \epsilon \sigma_T \quad (1)$$

و روابط ۲ و ۳، به ترتیب توابع بزرگاً و فاصله هستند.

$$a) M \leq M_h$$

$$F_M(M) = e_1 U + e_2 SS + e_3 NS + e_4 RS + e_5 (M - M_h) + e_6 (M - M_h)^2 \quad (الف)$$

$$b) M > M_h$$

$$F_M(M) = e_1 U + e_2 SS + e_3 NS + e_4 RS + e_5 (M - M_h) \quad (ب)$$

که در آن‌ها، مقادیر U ، SS ، NS و RS بیانگر اثر نوع گسلش هستند و به ترتیب: به نوع گسلش نامشخص، امتداد لغز نرمال و معکوس اشاره دارند و مقادیر آن‌ها در جدول ۱ مشخص شده است.

استخراج شده است. نتایج حاصل از بررسی‌های به عمل آمده در مطالعه‌ی اخیر، نشان‌دهنده‌ی سازگاری مناسب بین مقادیر پیش‌بینی شتاب زمین (PGA)^۲ در حالت مشاهده شده و پیش‌بینی شده توسط رابطه‌ی به دست آمده از برنامه‌نویسی ژنتیک است.

همچنین کرمانی و همکاران (۲۰۰۹)، یک رابطه‌ی جدید پیش‌بینی حرکت زمین آورده‌اند^{۱۸} که با درنظر گرفتن زیرمجموعه‌ی شامل ۹ رکورد از ۵۳ زمین لرزه‌ی موجود در مجموعه داده‌های مرکز مطالعات مهندسی زلزله‌ی پاسفیک استخراج شده بود. همچنین به منظور ارزیابی مدل‌های به دست آمده در مطالعه‌ی انجام شده، معیار ضریب تعیین (R^2) و دو معیار خط، شامل: میانگین مطلق خط (MAE)^{۱۹} و ریشه‌ی میانگین مربعات خط (RMSE)^{۲۰} برای مکانیزم‌های مختلف گسلش محاسبه و ارزیابی شده‌اند.

آذربخت و همکاران (۲۰۱۳)،^{۲۱} نیز با ارائه روشن بازنمونه‌گیری داده‌ها (RSA)^{۲۲} یک روش نوین دیگر در زمینه‌ی تحلیل حساسیت روابط پیش‌بینی حرکت زمین به داده‌های ورودی ارائه کردند که مبنای مطالعه برای دستیابی به رابطه‌ی جدیدی براساس روش برنامه‌نویسی ژنتیک جهت پیش‌بینی پیش‌بینی شتاب زمین، برای تاکمینهای لرزه خیز ایران قرار گرفته است. نتایج به دست آمده از ارزیابی مدل حاصل با مدل‌های موجود، از طریق چند روش آماری و ریاضی و همچنین رویکرد جدید تحلیل حساسیت با استفاده از بازنمونه‌گیری از داده‌ها برای تشخیص پایداری مدل‌ها، حاکی از دقت بالای رابطه‌ی مذکور است.^{۲۳}

همچنین از دیگر مطالعات انجام شده در زمینه‌ی تحلیل حساسیت بر پایه‌ی الگوریتم‌های تکاملی در زمینه‌ی تولید رابطه‌ی پیش‌بینی حرکت زمین، مطالعه‌ی جلالوندی و آذربخت (۲۰۱۵) است که برای فلات ایران صورت گرفته و برای دوره‌های زمانی صفر تا ۲ ثانیه ارائه شده است. به منظور ارزیابی مدل مذکور آزمون‌های آماری مختلفی بر روی آن انجام شده و نتایج به دست آمده نشان داده است که مدل به دست آمده در روشن بازنمونه‌گیری داده‌ها، نسبت به سایر مدل‌های مورد ارزیابی، بهترین عملکرد و پایداری مناسبی دارد.^{۲۴}

در سال ۲۰۰۸، نیز با ارائه مجموعه‌ی از داده‌های جهانی توسط مرکز مطالعات مهندسی زلزله‌ی پاسفیک،^{۲۵} نسل جدید معادلات پیش‌بینی حرکت زمین (NGA)^{۲۶} ارائه شد که قید استفاده از آن‌ها، فقط فعالیت منطقه از نظر زمین ساختی و موقع زلزله‌ها در قشر کم عمق زمین است.^{۲۷} همچنین متعاقباً در سال ۲۰۱۴، با بروزسانی مجموعه داده‌های موجود، روابط نسل جدید توسعه یافته‌ند و روابط پیش‌بینی حرکت زمین (۲۰۱۴) ارائه شدند.^{۲۸} با توجه به نتایج به دست آمده در برخی پژوهش‌های پیشین،^{۲۹} روابط به دست آمده با استفاده از داده‌های نسل جدید روابط پیش‌بینی حرکت زمین، در برخی آزمون‌های آماری از جمله لگاریتم درست‌نمایی (LLH)^{۳۰} نتایج قابل قبولی را داشته‌اند. نتایج حاصل از آزمون بازنمونه‌گیری داده‌ها بر روی روابط اخیر، نشان‌دهنده‌ی عدم پایداری آن‌ها و عدم لحاظ کردن این موضوع در تولید روابط پیش‌بینی حرکت زمین هستند. بنابراین با توجه به جامع بودن روابط پیش‌بینی حرکت زمین در سطح جهانی، هدف اساسی از انجام مطالعه‌ی حاضر، بهبود نسل جدید روابط پیش‌بینی حرکت زمین با استفاده از الگوریتم ژنتیک در جهت افزایش پایداری آن‌ها در مقابل انواع پارامترهای لرزه‌بی ورودی است. برای تحقق هدف موردنظر با استفاده از روشن بازنمونه‌گیری داده‌ها، انتظار می‌رود با بالارفتن تعداد داده‌های موجود، پاسخ دقیق‌تری از رابطه‌ی پیش‌بینی حرکت زمین حاصل شود.^{۳۱}

$$V_1 < V_{S^2} < V_{ref} \rightarrow$$

$$b_{nl} = b_1 \ln(V_{S^2}/V_{ref}) / \ln(V_1/V_{ref})$$

$$V_{ref} \leq V_{S^2} \rightarrow b_{nl} = 0$$

$$V_1 = 180 \text{ m/s}, V_2 = 300 \text{ m/s}$$

(ج)

همچنین در معادلات اخیر $e_1, e_2, e_3, e_4, e_5, e_6, e_7, e_8, e_9, e_{10}, e_{11}$ با استفاده از تحلیل به دست آمده‌اند.^[۸] به منظور ارزیابی مدل به دست آمده در تخمین پارامتر بیشینه‌ی شتاب، به ارزیابی آن با استفاده از آزمون‌های آماری و سپس مقایسه‌ی آن با برخی روابط پیش‌بینی حرکت زمین پرداخته شده است. مدل‌های کاهندگی مورد استفاده در مطالعه‌ی حاضر جهت ارزیابی و مقایسه، روابط پیش‌بینی حرکت زمین نسل جدید در سال‌های ۲۰۰۸ و ۲۰۱۴ است.

پروژه‌ی تولید نسل جدید مدل‌های کاهندگی، مجموعه‌یی از روابط پیش‌بینی

حرکت زمین منتخب را برای استفاده در شرایط جغرافیایی گوناگون توسعه بخشیده و یگانه قید استفاده از روابط ذکر شده، فعالیت منطقه از نظر زمین‌ساختی و موقعیت زلزله‌ها در قشر کم عمق زمین است. در حین پیشبرد پروژه‌ی نسل جدید روابط پیش‌بینی حرکت زمین، هر تیم توسعه‌دهنده به اطلاعات جامعی از مجموعه‌ی داده‌های مورد استفاده نیازمند است که از جمله می‌توان به اطلاعات پیرامون پارامترهای منبع لرزه‌ی، فاصله‌ی منشأ رخداد تا محل، شرایط محلی ایستگاه ثبت شتاب‌نگاشت و موارد دیگر اشاره کرد. از دیگر دیگری‌های روابط حاصل شده از طریق پروژه‌ی حاضر، جامعه‌ی آماری بالای مجموعه‌ی داده‌های است. در مطالعه‌ی حاضر، مدل‌های بور و آنکیشنون^[۸]، کمپل و بزرگ‌نیا^[۹]، آبراهامسون و سیلو^[۱۰]، چیو و یانگر^[۱۱]، بور و آنکیشنون^[۱۲]، کمپل و بزرگ‌نیا^[۱۳]، آبراهامسون و سیلو^[۱۴] و چیو و یانگر^[۱۵] ارزیابی شده‌اند. در جدول ۲، جزئیات مربوط به مدل‌های منتخب ارائه شده است.

۳. روش پژوهش

در مطالعه‌ی حاضر، به منظور بهینه‌سازی رابطه‌ی پیش‌بینی حرکت زمین موردنظر در جهت بهبود پایداری آن، از الگوریتم زنگنه‌ده استفاده شده است؛ به طوری که توابع هدف به طور جداگانه بهینه شده‌اند. برای آماده‌سازی داده‌های مورد استفاده، در ابتدا مجموعه‌ی داده‌ها به دو گروه آموزشی^[۱۶] (شامل ۸۰٪ مجموعه‌ی داده‌ها) و آزمایشی^[۱۷] (شامل ۲۰٪ مجموعه‌ی داده‌ها) تقسیم شده‌اند. انتخاب درصد داده‌های موردنظر به گونه‌یی بوده است که مجموعه‌ی داده‌های آموزشی شامل بیشینه‌ی داده‌ها باشد تا بتوان با استفاده از داده‌های بیشتری رابطه را بهینه ساخت. از طرفی، مجموعه‌ی داده‌های آزمایشی به میزانی باشد که نتایج حاصل از آزمایش با استفاده از آن‌ها قابل اعتماد باشد و بتوان روی نتایج حاصل تصمیم‌گیری کرد. مجموعه‌ی داده‌های ذکر شده به صورت تصادفی و با توزیع یکنواخت انتخاب شده‌اند. هدف از تقسیم‌بندی انجام شده، بررسی صحت و دقت مدل‌های به دست آمده براساس مجموعه‌ی داده‌های آموزشی، توسط مجموعه‌ی داده‌های آزمایشی است. در جدول ۳، تنظیمات پارامترهای مورد استفاده در الگوریتم زنگنه‌ده امداد شده است.

برای بهینه‌سازی رابطه‌ی پیش‌بینی حرکت زمین مورد مطالعه، از توابع LLH و RSA استفاده شده است. LLH لگاریتم درست‌نمایی است که هر اندازه مقدار

جدول ۱. ضرایب مربوط به متغیرهای ساختگی انواع مختلف گسلش.^[۸]

نوع گسلش				
RS	NS	SS	U	نامشخص
۰	۰	۰	۱	امتداد لغز
۰	۰	۱	۰	نرمال
۰	۱	۰	۰	معکوس
۱	۰	۰	۰	

$$F_D(R_{JB}, M) = [c_1 + c_2(M - M_{ref})]$$

$$\cdot \ln(R/R_{ref}) + c_3(R - R_{ref}) \quad (۳)$$

که در آن، R_{ref} فاصله‌ی مرجع و مساوی ۱ است.

$$F_S = F_{LIN} + F_{NL} \quad (۴)$$

که در آن، F_{LIN} و F_{NL} به ترتیب روابط خطی و غیرخطی مربوط به عبارت آثار محل هستند که مطابق روابط ۵ و ۶ محاسبه می‌شوند:

$$F_{LIN} = b_{lin} \ln(V_{S^2}/V_{ref}) \quad (۵)$$

که در آن، b_{lin} ضریب واپسی به دوره‌ی تناوب و V_{ref} سرعت مرجع مشخص و برابر ۷۶۰ متر بر ثانیه است.^[۸]

$$a) pga^{4nl} \leq a_1$$

$$F_{NL} = b_{nl} \ln(pga_low/0,1) \quad (\text{الف})$$

$$b) a_1 < pga^{4nl} \leq a_2$$

$$F_{NL} = b_{nl} \ln(pga_low/0,1)$$

$$+ c[\ln(pga^{4nl}/a_1)]^{\frac{1}{\alpha}}$$

$$+ d[\ln(pga^{4nl}/a_1)]^{\frac{2}{\alpha}} \quad (\text{ب})$$

$$c) a_2 < pga^{4nl}$$

$$F_{NL} = b_{nl} \ln(pga^{4nl}/0,1)$$

$$a_1 = 0,03g$$

$$a_2 = 0,09g$$

$$pga_low = 0,06g$$

$$pga^{4nl} = predicted PGA, in g for$$

$$V_{ref} = 760 \text{ m/s} \text{ (by } F_S = 0 \text{ and } \varepsilon = 0\text{.)}$$

$$c = (3\Delta y - b_{nl}\Delta x)/\Delta x^{\alpha}$$

$$d = -(2\Delta y - b_{nl}\Delta x)/\Delta x^{\alpha}$$

$$Where \Delta x = \ln(a_2/a_1),$$

$$\Delta y = b_{nl} \ln(a_2/pga_low)$$

$$V_{S^2} \leq V_1 \rightarrow b_{nl} = b_1$$

$$V_1 < V_{S^2} \leq V_2 \rightarrow$$

$$b_{nl} = (b_1 - b_2) \ln(V_{S^2}/V_1) / \ln(V_1/V_2) + b_2$$

جدول ۲. جزئیات مربوط به مدل‌های کاهنگی ارزیابی شده در مطالعه‌ی حاضر.

ردیف	رابطه پیش‌بینی حرکت زمین	مخلف	منطقه‌ی حاکم	فاصله (کیلومتر)	بزرگای گشتاوری	مرجع
۱	بور و آتکینسون	BA ^۰ ۸	کالیفرنیا	۰-۲۰۰	۵-۸	[۸]
۲	کمپل و بزرگ‌نیا	CB ^۰ ۸	کالیفرنیا	۰-۲۰۰	۴-۷,۵	[۹]
۳	آبراهامسون و سیلاوا	AS ^۰ ۸	کالیفرنیا	۰-۲۰۰	۵-۸,۵	[۱۰]
۴	چیو و یانگز	CY ^۰ ۸	کالیفرنیا	۰-۲۰۰	۴-۸	[۱۱]
۵	بور و آتکینسون	BSSA ^{۱۴}	کالیفرنیا	۰-۴۰۰	۳-۸,۵	[۱۲]
۶	کمپل و بزرگ‌نیا	CB ^{۱۴}	کالیفرنیا	۰-۳۰۰	۳,۳-۸	[۱۳]
۷	آبراهامسون و سیلاوا	ASK ^{۱۴}	کالیفرنیا	۰-۳۰۰	۳-۸,۵	[۱۴]
۸	چیو و یانگز	CY ^{۱۴}	کالیفرنیا	۰-۳۰۰	۳,۵-۸	[۱۵]

MedPv_M^{۱۰۰} مقدار میانه‌ی P_b برای پارامتر M برای ۱۰۰٪ از داده‌ها؛ MedPv_R^{۹۰} مقدار میانه‌ی P_b برای پارامتر R برای ۹۰٪ از داده‌ها؛ MedPv_R^{۱۰۰} مقدار میانه‌ی P_b برای پارامتر R برای ۱۰۰٪ از داده‌ها؛ MedPv_Vs^{۹۰} مقدار میانه‌ی P_b برای پارامتر V_s برای ۹۰٪ از داده‌ها؛ MedPv_Vs^{۱۰۰} مقدار میانه‌ی P_b برای پارامتر V_s برای ۱۰۰٪ از داده‌ها هستند. با تکرار برنامه و تعییر تعداد جمعیت، نسل و عملکر مقاطع، بهترین ضرایب به دست آمده اند: تمامی تغییرات ذکور، در روند بهینه‌سازی رابطه تأثیر می‌کنند. تأثیر اصلی تفاوت دارند. تمامی تغییرات ذکور، در روند بهینه‌سازی رابطه تأثیر می‌کنند؛ اما برخی ضرایب اختلاف زیادی با ضرایب اصلی در رابطه بور و آتکینسون (۲۰۰۸) دارند. از جمله‌ی ضرایب مورد اختلاف، می‌توان ضرایب $e_{۵,6}$ و $b_۲$ را نام برد. با توجه به معادله‌های (۱۲) و (۲۱) در رابطه‌ی بور و آتکینسون (۲۰۰۸)، ضرایب‌های $e_{۴,5}$ و $e_{۶,۷}$ مربوط به توابع بزرگ هستند. در بخش ۴-۴ نوشتار حاضر مشاهده خواهد شد که تغییرات ذکر شده در پارامترهای مرتبط به توابع بزرگ، سبب بهبود در نمودارهای RSA برای پارامتر بزرگ در رابطه‌ی بهینه شده، نسبت به رابطه اصلی بور و آتکینسون (۲۰۰۸) شده است. ضرایب $b_۶$ مربوط به توابع سرعت برشی، توابع بزرگ و توابع فاصله است. با توجه به معادله‌ی (۴)، در رابطه‌ی بور و آتکینسون (۲۰۰۸)، ضرایب $b_{۲,6}$ برای محاسبه‌ی مقدار $b_{۱,6}$ استفاده شده است. مقادیر $b_{۱,6}$ به دست آمده با استفاده از ضرایب $b_{۲,6}$ ، به طور مستقیم و غیرمستقیم در معادله‌ی (۶) برای به دست آوردن تابع F_{NL} و تابع F_{NL} نیز با توجه به معادله‌ی (۴) برای محاسبه‌ی F_S استفاده شده است. این در حالی است که F_S با توجه به معادله‌ی (۱) تابعی از پارامترهای V_{S20} , R_{jb} و M است. با توجه به نمودارهای آزمون RSA در بخش ۴-۴، می‌توان بیان کرد که تغییرات در ضرایب $b_{۲,6}$ کمک به بهبود نمودارهای RSA برای پارامتر سرعت موج برشی، فاصله (R_{jb}) و بزرگ‌کردن است؛ به طوری که تمامی نمودارهای RSA، روندی صعودی و بیشتر آن‌ها مقداری نزدیک به ۱ دارند.

۴. بحث در نتایج

۴.۱. معیار خطای

معیارهای خطای، شاخص‌هایی هستند که جهت ارزیابی صحت پیش‌بینی مدل استفاده می‌شوند و هر چه کمتر باشند، نماینگر پیش‌بینی دقیق‌تر روابط هستند.^[۱۸]

جدول ۳. پارامترهای منتخب در الگوریتم زنتیک.

تعداد کل داده‌ها	۱۵۳۴۸
داده‌های آموزشی	۱۲۲۷۹
داده‌های آزمایشی	۳۰۷۰
جمعیت	۵۰۰
نسل	۲۰۰
تعداد نخبه	۵۰
ضریب ترکیب	۰/۷

LLH کمتر باشد، تناسب رابطه بر روی مجموعه‌ی داده‌ای مورد استفاده بیشتر است. RSA شاخصی برای بررسی میزان پایداری روابط پیش‌بینی حرکت زمین با تکیه بر تعیین میزان انحراف بین باقیمانده‌ها در مقابل انواع مختلف پارامترهای لرزه‌ی ورودی است.^[۱۵] بدین منظور برای کاهش میزان انحراف باقیمانده‌ها در مقابل پارامترهای ورودی، توابع هدف به صورت معادلات ۲ الی ۱۰ تعریف شده‌اند. به منظور معنی دار کردن و همچین امکان تفسیر میزان انحراف باقیمانده‌ها، آزمون فرض آماری تعریف شده است. این آزمون با فرض تهی شیب و عرض از مبدأ خط حاصل از درون یابی خطی بر مجموعه‌ی داده‌ها (باقیمانده‌ها) برای صفر تعریف می‌شود. هر اندازه مقدار p-value به ۱ نزدیک‌تر باشد، مدل کاهنگی انحراف کمتری و پایداری بیشتری در پیش‌بینی جنبش‌های زمین دارد. p-value‌ها دو پارامتر شیب و عرض از مبدأ را محاسبه می‌کنند. P_b نشان‌دهنده‌ی p -value شیب و P_a نشان‌دهنده‌ی p -value عرض از مبدأ خط برازش شده بر روی باقیمانده‌ها هستند.

$$\begin{aligned} \text{Fitness function ۱} &= ۰,۷ * (1 - \text{MedPv}_M^{۹۰}) \\ &+ (1 - \text{MedPv}_M^{۱۰۰}) \end{aligned} \quad (۷)$$

$$\begin{aligned} \text{Fitness function ۲} &= ۰,۷ * (1 - \text{MedPv}_R^{۹۰}) \\ &+ (1 - \text{MedPv}_R^{۱۰۰}) \end{aligned} \quad (۸)$$

$$\begin{aligned} \text{Fitness function ۳} &= ۰,۷ * (1 - \text{MedPv}_{Vs}^{۹۰}) \\ &+ (1 - \text{MedPv}_{Vs}^{۱۰۰}) \end{aligned} \quad (۹)$$

$$\text{Fitness function ۴} = LLH \quad (۱۰)$$

که در آن‌ها: $\text{MedPv}_M^{۹۰}$ مقدار میانه‌ی P_b برای پارامتر M برای ۹۰٪ از داده‌ها؛

جدول ۴. ضرایب مدل استخراج شده‌ی الگوریتم ژنتیک برای مجموعه‌ی داده‌های ۱۵۳۴۸.

ضرایب	مدل بهینه شده	مدل اصلی بور و آتکینسون	ضرایب	مدل بهینه شده	مدل اصلی بور و آتکینسون
(۲۰۰۸)		مدل اصلی بور و آتکینسون	(۲۰۰۸)		مدل اصلی بور و آتکینسون
e_0	-۰,۴۹۴	-۰,۵۳۸	c_2	۰,۱۰۰	۰,۱۲۰
e_1	-۰,۶۲۲	-۰,۵۰۴	c_3	-۰,۰۱۳	-۰,۰۱۲
e_2	-۰,۷۱۹	-۰,۷۵۵	H	۱,۲۶۲	۱,۳۵۰
e_3	-۰,۷۳۹	-۰,۵۱۰	B_{lin}	-۰,۰۴۶۳	-۰,۰۳۶۰
e_4	۰,۵۰۱	۰,۲۸۸	b_1	-۰,۰۴۲۰	-۰,۰۶۴۰
e_5	-۰,۲۲۴	-۰,۰۱۲	b_2	-۰,۰۲۸۱	-۰,۰۱۴۰
e_6	۰,۰۷۹	۰,۰۰۰	Sigtu	۰,۰۴۵	۰,۰۵۶۶
c_1	-۰,۵۶۱	-۰,۶۶۱	Sigtm	۰,۰۶۹۹	۰,۰۵۶۴

از بهینه‌سازی در معیارهای کارایی، ضریب تعیین و LLH، نتایج بهتری نسبت به روابط نسل جدید روابط پیش‌بینی حرکت زمین (۲۰۰۸) دارد. در معیارهای خط، رابطه‌ی بهینه شده در مقایسه با رابطه‌های نسل جدید ۸۰٪ در قسمت باقیمانده‌های فرارخدادی، نتیجه‌ی بهتری داشته‌اند. به جز معیار RMSE می‌توان نتیجه‌گرفت رابطه‌ی بهینه شده برای مجموعه‌ی ۱۵۳۴۸ رکورد، نسبت به روابط نسل جدید ۸۰٪، رفتار مناسب‌تری دارد. با مقایسه‌ی رابطه‌های بهینه شده با استفاده از الگوریتم ژنتیک و رابطه‌های نسل جدید ۱۴٪، می‌توان بیان کرد که رابطه‌ی بهینه شده برای مجموعه‌ی ۱۵۳۴۸ نتایجی در تمامی معیارها، نتایجی قابل قبول و در حدود رابطه‌های نسل جدید ۱۴٪ دارد.

در مطالعه‌ی حاضر، از دو معیار خطای ریشه‌ی میانگین مربعات خطأ (رابطه‌ی ۱۱) و میانگین مطلق خطأ (رابطه‌ی ۱۲) استفاده شده است:

$$RMSE = \sqrt{\frac{\sum_N (X_{obs} - X_{pre})^2}{N}} \quad (11)$$

$$MAE = \frac{\sum_N |X_{obs} - X_{pre}|}{N} \quad (12)$$

که در آن‌ها، X_{obs} مقدار مشاهده شده رکورد، X_{pre} مقدار پیش‌بینی شده توسط روابط و N تعداد شتاب‌نگاشت‌هاست.

۲.۴. معیار ضریب تعیین

یک مدل کاهندگی، زمانی به عنوان یک مدل مناسب پیش‌بینی در نظر گرفته می‌شود که قدرت توضیح‌دهنگی آن که توسط ضریب تعیین (R^*) اندازه‌گیری می‌شود، حقیقت امکان بالا باشد. ضریب تعیین، شاخصی است که نشان می‌دهد تا چه اندازه معادله‌ی رگرسیونی نمونه‌ها، داده‌ها را به نکویی برازش می‌کند (رابطه‌ی ۱۳):

$$R^* = \frac{\sum_N (X_{obs})^2 - \sum_N (X_{obs} - X_{pre})^2}{\sum_N (X_{obs})^2} \quad (13)$$

۳.۴. معیار کارایی

معیار کارایی (ضریب E) توسط ناش و ساتکلیف (۱۹۷۰)،^[۱۹] به صورت رابطه‌ی ارائه شده است:

$$E = [1 - \frac{\sum_{i=1}^N (LnY_i - Ln\hat{Y}_i)^2}{\sum_{i=1}^N (LnY_i - \bar{LnY})^2}] \times 100\% \quad (14)$$

رابطه‌ی ناش و ساتکلیف (۱۹۷۰)، میزان کارایی رابطه‌ی مورد بررسی را نشان می‌دهد و میزان آن بین $-\infty$ و 100% متغیر است و هر چه میزان آن بیشتر باشد، همبستگی بین داده‌های مشاهداتی و داده‌های محاسباتی بالاتر خواهد بود. در جدول ۵، نتایج حاصل از معیارهای خط، ضریب تشخیص، ضریب ناش - ساتکلیف و LLH ارائه شده است که با توجه به آن، رابطه‌ی بهینه شده، دقیق‌ترین رابطه با استفاده

۴. بررسی انحراف باقیمانده‌ها

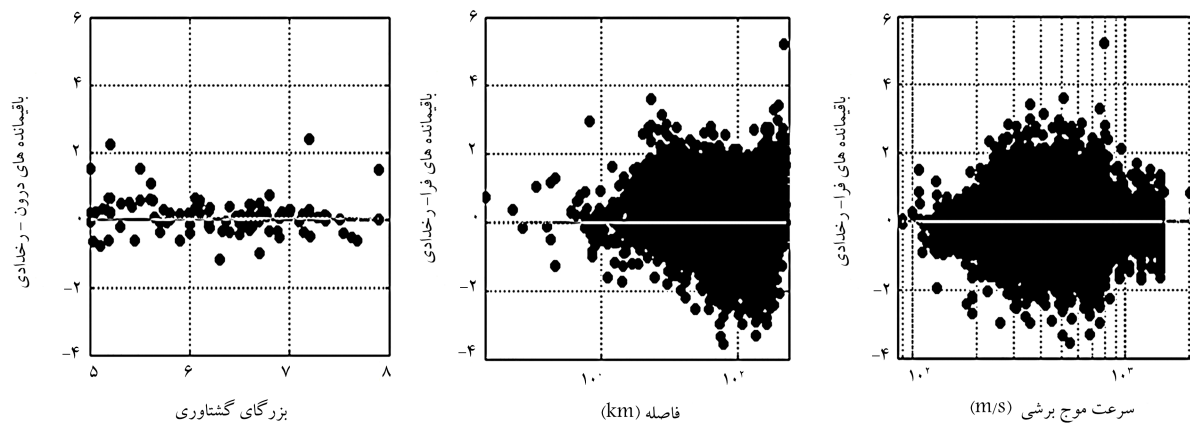
از جمله مهم‌ترین ویژگی‌های یک مدل کاهندگی مطلوب برای استفاده در یک ساختگاه، عدم انحراف باقیمانده‌ها در برابر پارامترهای لرزه‌ی متفاوت، مانند: بزرگا، فاصله و یا سرعت موج برشی است. به منظور معنی دار کردن و همچنین ایجاد امکان تفسیر میزان انحراف باقیمانده‌ها، آزمون فرض آماری تعریف و ارزیابی p-value و آن جهت تفسیر نتایج استفاده می‌شود.

آزمون فرض آماری ذکر شده با فرض تهی شیب و عرض از مبدأ خط حاصل

از درون یابی خطی بر مجموعه‌ی داده‌ها (باقیمانده‌ها) برابر صفر تعریف می‌شود. هر اندازه p-value به ۱ نزدیک‌تر باشد، مدل کاهندگی انحراف کمتری دارد و رابطه‌ی مورد نظر، توانایی بیشتری در پیش‌بینی جنبش‌های زمین دارد. p-value دو پارامتر P_a و P_b شیب و عرض از مبدأ خط برازش شده بر روی باقیمانده‌ها هستند. نشان‌دهنده‌ی p-value عرض از مبدأ خط برازش شده بر روی باقیمانده‌ها هستند.

هر اندازه میزان میانگین باقیمانده‌ها به صفر نزدیک‌تر باشد، رابطه دقت بیشتری در پیش‌بینی خواهد داشت. درنهایت با درنظر گرفتن ۳ مقدار P_a ، P_b و میانگین باقیمانده‌ها، روابط با کمترین انحراف مشخص خواهند شد. شکل ۱ و جدول ۶، نتایج به دست آمده‌ی حاصل از بررسی باقیمانده‌ها برای رابطه‌ی به دست آمده با الگوریتم ژنتیک است.

با توجه به نتایج به دست آمده از جدول ۶، رابطه‌ی BSSA، رابطه‌ی بهینه شده توسط الگوریتم ژنتیک و رابطه‌ی CY14 کمترین میانگین باقیمانده را دارند. میزان انحراف باقیمانده‌ها در برابر موج برشی و فاصله، برای مدل به دست آمده از الگوریتم ژنتیک نشان می‌دهد که رابطه‌ی بهینه شده، دقیق‌ترین رابطه با استفاده



شکل ۱. توزیع باقیماندها در برابر پارامترهای لرزه‌بی مدل به دست آمده با ضرایب بهینه شده برای پارامتر PGA با استفاده از داده‌های مجموعه‌ی ۱۵۳۴۸ تابی.

جدول ۵. نتایج سنجش معیارهای: خطأ، ضریب تعیین، کارایی و روش نظری - اطلاعاتی (معیار LLH).

$r_{ij}^{[inter]}$	MAE			RMSE			R^*	LLH	$E(%)$	رابطه‌ی پیش‌بینی حرکت زمین
	$r_i^{[inter]}$	r_{ij}	r_{ij}	$r_{ij}^{[inter]}$	$r_i^{[inter]}$	r_{ij}				
۰,۵۵	۰,۳۹	۰,۶۷	۰,۷۱	۰,۴۸	۰,۸۶	۰,۹۸	۱,۹۰	۸۸,۱۹	۸۸,۱۹	مدل بهینه شده
۰,۵۵	۰,۹۳	۱,۰۶	۰,۷۱	۱,۱۲	۱,۳۲	۰,۹۶	۴,۴۸	۷۲,۰۹	۷۲,۰۹	BA۰۸
۰,۶۵	۱,۲۵	۱,۳۷	۰,۸۴	۱,۴۷	۱,۶۹	۰,۹۳	۷,۸۶	۵۴,۶۲	۵۴,۶۲	CB۰۸
۰,۵۵	۱,۰۳	۱,۱۴	۰,۷۰	۱,۲۲	۱,۴۱	۰,۹۵	۳,۵۴	۶۸,۵۰	۶۸,۵۰	AS۰۸
۰,۵۵	۰,۴۰	۰,۶۸	۰,۷۰	۰,۵۱	۰,۸۷	۰,۹۸	۲,۳۳	۸۸,۰۹	۸۸,۰۹	CY۰۸
۰,۵۳	۰,۳۸	۰,۶۵	۰,۶۸	۰,۴۶	۰,۸۳	۰,۹۸	۱,۷۷	۸۹,۱۷	۸۹,۱۷	BSSA۱۴
۰,۵۴	۰,۳۳	۰,۶۳	۰,۶۹	۰,۴۱	۰,۸۰	۱,۰۰	۱,۷۲	۷۰,۰۱	۷۰,۰۱	CB۱۴
۰,۵۳	۰,۳۷	۰,۶۵	۰,۶۸	۰,۴۷	۰,۸۳	۰,۹۸	۱,۷۶	۸۹,۱۶	۸۹,۱۶	ASK۱۴
۰,۵۳	۰,۳۴	۰,۶۴	۰,۶۹	۰,۴۴	۰,۸۱	۰,۹۸	۱,۷۸	۸۹,۵۳	۸۹,۵۳	CY۱۴

جدول ۶. نتایج بررسی میزان انحراف باقیماندها برای پارامتر PGA.

پی - مقدار	انحراف باقیماندها در						میانگین باقیماندها	رابطه‌ی پیش‌بینی حرکت زمین		
	انحراف باقیماندها در			برابر سرعت موج برشی						
	برابر بزرگای گشتاوری	برابر معیار فاصله	برابر سرعت موج برشی	P_b	P_a	P_b				
۰,۷۱	۰,۹۳	۰,۷۱	۰,۹۹	۰,۴۸	۰,۴۹	۰,۰۳	۰,۰۳	مدل بهینه شده		
۰,۷۱	۰,۰۰	۰,۷۱	۰,۰۰	۰,۵۰	۰,۰۰	-۰,۸۳	-۰,۸۳	BA۰۸		
۰,۸۴	۰,۰۰	۰,۷۶	۰,۰۰	۰,۵۹	۰,۰۰	-۰,۳۱	-۰,۳۱	CB۰۸		
۰,۷۰	۰,۰۰	۰,۷۰	۰,۰۰	۰,۴۶	۰,۰۰	-۰,۹۷	-۰,۹۷	AS۰۸		
۰,۷۰	۰,۰۰	۰,۷۰	۰,۰۰	۰,۴۶	۰,۰۰	-۰,۲۰	-۰,۲۰	CY۰۸		
۰,۶۸	۰,۰۴	۰,۶۸	۰,۰۶	۰,۴۶	۰,۰۰	۰,۰۱	۰,۰۱	BSSA۱۴		
۰,۶۹	۰,۰۰	۰,۶۹	۰,۳۴	۰,۴۱	۰,۰۰	۰,۰۵	۰,۰۵	CB۱۴		
۰,۶۸	۰,۰۰	۰,۶۸	۰,۰۰	۰,۴۴	۰,۰۰	-۰,۰۷	-۰,۰۷	ASK۱۴		
۰,۶۹	۰,۳۹	۰,۶۹	۰,۰۰	۰,۴۳	۰,۰۰	۰,۰۳	۰,۰۳	CY۱۴		

هر رابطه‌ی پیش‌بینی حرکت زمین براساس یک مجموعه‌ی داده از حرکت‌های زمین به دست آمده است و با رخدادهای بیشتر می‌توان پایگاه داده‌ها را به روزرسانی کرد.

با این حال یک تغییر کوچک در پایگاه داده‌های حرکت زمین نباید تأثیر قابل توجهی در خروجی مدل کاهنگی داشته باشد. به بیان دیگر، اگر یک رابطه نسبت به یک تغییر کوچک در مجموعه‌ی داده‌ها به شدت حساسیت نشان دهد، پایداری آن رابطه بسیار کم است و مقادیر پیش‌بینی شده توسط آن غیرقابل اعتماد و عدم قطعیت در این مدل قابل توجه است. جهت ارزیابی پایداری روابط پیش‌بینی حرکت زمین، از رویکرد نوین تحلیل حساسیت در برابر بازنونه‌گیری از داده‌ها استفاده شده است.^[۵]

ایده‌ی اصلی روش تحلیل حساسیت، بررسی میزان پایداری روابط پیش‌بینی

حرکت زمین با تکیه بر تعیین میزان انحراف بین باقیمانده‌ها در مقابل انواع مختلف پارامترهای لرزه‌یی و رودی است. آزمون فرض صفر به عنوان عدم وجود انحراف در خط

بازیش داده شده در برابر بازنونه‌گیری از داده‌ها با سطح معناداری ۵٪ در نظر گرفته شده است. به منظور بررسی پایداری روابط پیش‌بینی حرکت زمین

برای پارامتر PGA، روابط پیش‌بینی حرکت زمین م منتخب با مجموعه‌ی داده‌های

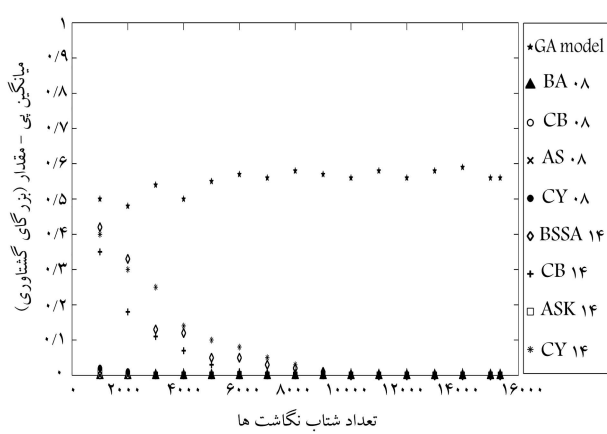
۱۵۳۴۸ شتاب‌نگاشت، براساس روش RSA بررسی شده است. شکل‌های ۴ و ۵ نشان‌دهنده نتایج حاصل از بازنونه‌گیری مجموعه‌ی داده‌ها در برابر پارامترهای:

بزرگای گشتاوری، فاصله (R_{j6}) و سرعت موج برشی هستند.

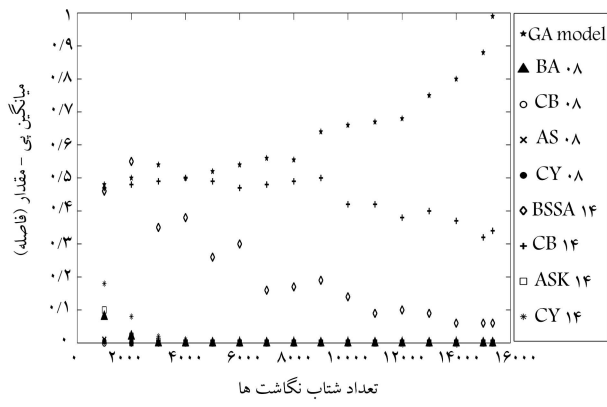
با توجه به نتایج به دست آمده از روش بازنونه‌گیری داده‌ها مشاهده می‌شود که مقدار p-value نهایی در نمودار RSA برای پارامتر بزرگ‌نیا رابطه‌ی بهینه شده با استفاده از مجموعه داده‌های ۱۵۳۴۸ تایی، روندی صعودی دارد؛ در حالی که نمودار اخیر برای رابطه‌های نسل جدید ۲۰۱۴ و ۲۰۰۸ روندی در حدود صفر دارند. در نمودار RSA، مقدار p-value نهایی برای پارامتر فاصله برای رابطه‌ی بهینه شده با استفاده از مجموعه‌ی داده‌ی ۱۵۳۴۸ تایی در حدود ۱ است، در حالی که مقدار اخیر برای روابط نسل جدید ۲۰۰۸ و ۲۰۱۴ به جز رابطه‌ی کمپل و بزرگ‌نیا (۲۰۱۴) که در حدود ۴٪ است، به طور مشابه با پارامتر بزرگ‌نیا، روندی رو به صفر دارد. لذا، می‌توان بیان کرد که رابطه‌ی بهینه شده توسط الگوریتم ژنتیک بهترین و قابل قبول ترین رفتار را دارد.

۵.۴. تأثیر روابط پیش‌بینی حرکت زمین در تحلیل احتمالاتی خطر زلزله

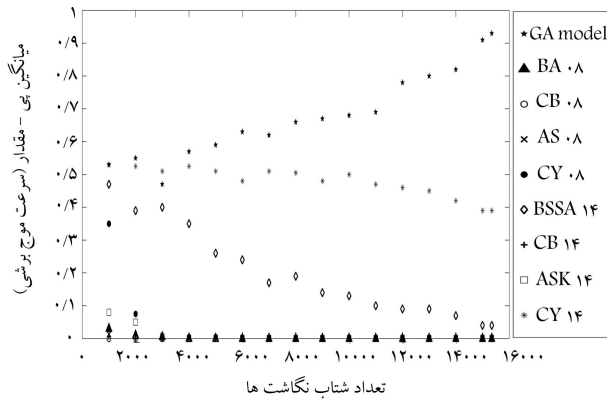
منحنی خطر لرزه‌یی می‌تواند به عنوان مهم‌ترین نتیجه‌ی تحلیل خطر در نظر گرفته شود. به طور کلی می‌توان گفت تحلیل خطر لرزه‌یی احتمالاتی، شامل مراحل: شناسایی تمام منابع تولیدکننده زمین لرزه، شناخت و توصیف نحوه‌ی توزیع بزرگ‌نیا، توصیف



شکل ۲. میانگین p-value‌های حاصل از انحراف باقیمانده‌ها در برابر بزرگای گشتاوری در تحلیل حساسیت.



شکل ۳. میانگین p-value‌های حاصل از انحراف باقیمانده‌ها در برابر فاصله در تحلیل حساسیت.



شکل ۴. میانگین p-value‌های حاصل از انحراف باقیمانده‌ها در برابر سرعت موج برشی در تحلیل حساسیت.

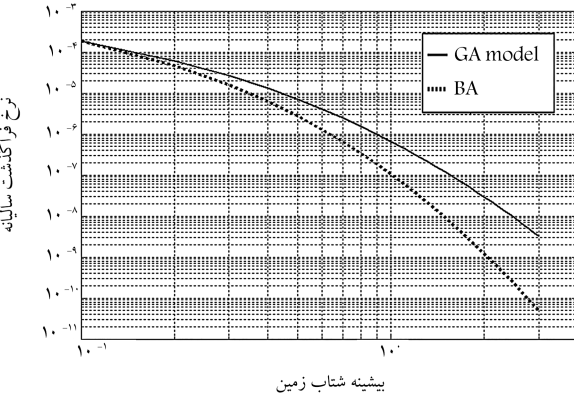
فاصله میان منابع تولید بزرگ‌نیا و ساختگاه، ارائه‌ی مدل پیش‌بینی جنبش زمین بر مبنای بزرگ‌نیا، فاصله و دیگر پارامترهای لرزه‌یی و درنهایت، ترکیب احتمالات به دست آمده در مراحل ذکر شده با استفاده از محاسبات احتمالاتی و تئوری‌های آماری است.^[۲۰] در شکل ۵، منحنی خطر ترسیم شده با استفاده از رابطه‌ی بهینه شده توسط الگوریتم ژنتیک و مقایسه‌ی آن با منحنی خطر به دست آمده از رابطه‌ی بور و آنکینسون (۲۰۰۸) مشاهده می‌شود. برای ترسیم منحنی خطر ذکر شده، منبع

۵. نتیجه‌گیری

مدل به دست آمده طی مطالعه‌ی حاضر، با استفاده از الگوریتم ژنتیک برای مجموعه داده‌ی ۱۵۳۴۸ تابی، به عنوان روابط پیش‌بینی حرکت زمین با کارایی و دقت بالا در پیش‌بینی بیشینه‌ی شتاب زمین (PGA)، با استفاده از یک کاتالوگ لرزه‌ی جهانی، شامل زلزله‌های سال‌های ۱۹۴۱ تا ۲۰۱۱ ۲۰۱۱ میلادی حاصل شده است. مدل کاهنگی ذکر شده با معرفی تابع هدف به منظور کاهش میزان LLH و همچنین افزایش پایداری رابطه‌ی پیش‌بینی حرکت زمین به دست آمده و صحبت این امر از نتایج حاصل از آزمون‌های ریاضیاتی و آماری معرفی شده در طی گزارش تأیید شده است. یافته‌های مطالعه‌ی حاضر حاکی از آن است که مدل بهینه شده از نظر دقت در پیش‌بینی، مدل مطلوبی محسوب می‌شود. رابطه‌ی پیش‌بینی حرکت زمین، رابطه‌ی است که در بین سایر مدل‌ها با پیش‌بینی تقریباً متعادل، کمترین میزان انحراف با قیمانده‌های درون رخدادی در برابر بزرگ‌ای گشتاوری و همچنین کمترین انحراف با قیمانده‌های فراخدادی در برابر پارامترهای فاصله و سرعت موج برشی را دارد و در مقایسه با روابط اصلی نسل جدید (۲۰۱۴)، پایداری بسیار مناسبی در برابر افزایش تعداد داده‌ها دارد و تغییر در تعداد داده‌های مورد استفاده، پاسخ دقیق‌تری از رابطه‌ی پیش‌بینی حرکت زمین حاصل می‌شود. مقایسه‌ی نتایج آزمون‌های آماری و معیارهای مختلف خطای (مانند RMSE و MAE)، معیار کارایی، معیار ضریب تغییر، و معیارهای درست‌نمایی LH، LLH و EDR با سایر روابط منتخب گواهی بر برتری مدل بهینه شده به عنوان یک مدل جهانی است.

پایداری مدل بهینه شده با تکیه بر نتایج تحلیل حساسیت و از طریق بازنمونه‌گیری از مجموعه‌ی داده‌ها، کاملاً آشکار است و می‌توان گفت در بین سایر روابط با پیش‌بینی مناسب، رابطه‌ی ارائه شده کمترین حساسیت را از خود نشان داده است. مطابق انتظار اولیه، با پیشرشدن تعداد داده‌ها، پایداری رابطه‌ی بهینه شده برای مجموعه‌ی ۱۵۳۴۸ بیشتر شده است. این روند بهبودی در نتایج حاصل از نمودارهای روش بازنمونه‌گیری داده‌ها مشاهده می‌شود.

با نتایج حاصل از مقایسه‌ی رابطه‌ی بهینه شده برای مجموعه‌ی داده‌های ۱۵۳۴۸ تابی با سایر روابط منتخب برآن است که رابطه‌ی بور و آنکینسون (۲۰۰۸) با ضرایب بهینه شده توسط الگوریتم ژنتیک برای مجموعه‌ی داده‌های ۱۵۳۴۸ تابی برای PGA، به عنوان یک مدل جهانی از باقی رابطه‌ها برتر است.



شکل ۵. منحنی خطر برای رابطه‌ی بور و آنکینسون (۲۰۰۸) و رابطه‌ی بهینه شده با استفاده از الگوریتم ژنتیک.

جدول ۷. پارامترهای در نظر گرفته شده برای منبع خطی.

پارامتر	مقادیر
طول گسل (L)	۳۹۸
پارامتر لرزه‌خیزی (گوتبرگ - ریشتر)	۰,۵
نحوه رخداد زلزله‌های بزرگ‌تر از بزرگ‌ای کمینه (λ)	۰,۰۲
فاصله منبع تا گسل (R)	۲۰-۲۰۰
بزرگ‌ای (M)	۳-۸

به صورت خطی در نظر گرفته شده است. جدول ۷، سایر پارامترهای در نظر گرفته شده برای منبع مذکور است.

با توجه شکل ۵، منحنی خطر ترسیم شده با استفاده از رابطه‌ی بهینه شده، بالاتر از منحنی خطر ترسیم شده برای رابطه‌ی بور و آنکینسون (۲۰۰۸) است. این بدین معناست که برای یک PGA یکسان، منحنی خطر رابطه‌ی بهینه شده، مقدار نزدیک‌تر از سالیانه‌ی بالاتری نسبت به رابطه‌ی بور و آنکینسون (۲۰۰۸) دارد. می‌توان بیان کرد که رابطه‌ی بهینه شده با استفاده از الگوریتم ژنتیک، محافظه‌کارانه‌تر از رابطه‌ی بور و آنکینسون (۲۰۰۸) است. این اختلاف در نمودار، با افزایش مقدار PGA بیشتر می‌شود؛ به طوری که برای PGA های بزرگ‌تر و پراهمیت‌تر، تفاوت ذکر شده بیشتر اهمیت می‌یابد.

پانوشت‌ها

1. seismic hazard analysis
2. ground motion prediction equations (GMPes)
3. peak ground acceleration (PGA)
4. mean absolute error
5. root mean square error
6. Re-sampling analysis (RSA)
7. Pacific earthquake engineering research center
8. next generation attenuation of ground motion (NGA)
9. Log-likelihood (LLH)
10. magnitude

11. joyner-boore distance (Rjb)
12. shear-wave velocity over a subsurface depth of 30 meters (Vs30)
13. fault type
14. training
15. testing

منابع (References)

1. McGuire, R.K. "Probabilistic seismic hazard analysis and design earthquakes: Closing the Loop",, *Bulletin of*

- the Seismological Society of America, **85**(5), pp. 181-200 (1995).
2. Bommer, J.J., Douglas, J., Scherbaum, F. and et al. "On the selection of ground-motion prediction equations for seismic hazard analysis", *Seismological Research Letter*, **81**(5), pp. 783-793 (2010).
 3. Cabalar, A.F. and Cevik, A. "Genetic programming-based attenuation relationship: An application of recent earthquakes in Turkey", *Computers & Geo Sciences*, **35**(9), pp. 1884-1896 (2009).
 4. Kermani, E., Jafarian, Y. and Baziar, M.H. "New predictive models for the ratio v_{max}/a_{max} of strong ground motions using genetic programming", *International Journal of Civil Engineering*, **7**(4), pp. 246-239 (2009).
 5. Azarbakht, A., Rahpeyma, S. and Mousavi, M. "A new methodology for assessment the stability of ground motion prediction equations", *Journal of Bulletin of the Seismological Society of America*, **104**(3), pp. (2014).
 6. Rahpeyma, S. and Azarbakht, A. "Improvement of existing attenuation relationships by using genetic optimization techniques for Iran's tectonic regions", Thesis for MSC, Arak University (2013).
 7. Jalavandi, S. and Azarbakht, A. "Improvement of response spectral attenuation relationship according to advanced acceptable criteria for Iran's tectonic regions", Thesis for MSC, Arak University (2016).
 8. Boore, D.M. and Atkinson. "Ground-motion prediction equations for the average horizontal component of PGA, PGV, and 5%-damped PSA at spectral periods between 0.01 sec and 10.0 sec.", *Earthquake Spectra*, **24**(1), pp. 99-138 (2008).
 9. Campbell K.W. and Bozorgnia, "NGA ground motion model for the geometric mean horizontal 139 component of PGA, PGV, PGD and 5% damped linear elastic response spectra for periods ranging from 0.01 to 10 sec.", *Earthquake Spectra*, **24**(1), pp. 139-171 (2008).
 10. Abrahamson, N., Silva, W. "Summary of the Abrahamson & Silva NGA ground-motion relations", *Earthquake Spectra*, **24**(1), pp. 67-97 (2008).
 11. Chiou, B.S. and Youngs, R.R. "An NGA model for the average horizontal component of peak ground motion and response spectra", *Earthquake Spectra*, **24**(1), pp. 173-215 (2008).
 12. Boore, D.M., Stewart, J.P., Seyhan, E. and et al. "NGA-West 2 equations for predicting PGA, PGV, and 5%-damped PSA for shallow crustal earthquakes", *Earthquake Spectra*, **30**(3), pp. 1026-1067 (2014).
 13. Campbell, K.W. "NGA-West2 Campbell-Bozorgnia ground motion model for the horizontal components of PGA, PGV, and 5%-damped elastic pseudo-acceleration response spectra for periods ranging from 0.01 to 10 sec.", *Earthquake Spectra*, **30**(3), pp. 1087-1115 (2014).
 14. Abrahamson, N.A., Silva, W.J. and Kamai, R. "Update of the AS08 ground-motion prediction equations based on the NGA-west2 data set.", *Pacific Engineering Research Center Report*, 144 p. (2013).
 15. Chiou, B.S.J. and Youngs, R.R. "Update of the Chiou and Youngs NGA model for the average horizontal component of peak ground motion and response spectra", *Earthquake Spectra*, **30**(3), pp. 1117-1153 (2014).
 16. Azarbakht, A., Rajabi, Z. and Rahpeyma, S. "Stability assessment of GMPEs for Iranian ground motion database", *7th International Conference on Seismology and Earthquake Engineering* (2015).
 17. Shahvar, N. and Azarbakht, A. "Assessment of the NGA 2014 GMPEs by using Advanced statistical techniques", Thesis for MSC, Arak University (1394).
 18. Turchin, P., Grinin, L., Munck V.C. and et al. "History and mathematics: Historical dynamics and development of complex societies", Moscow, Komkniga/URSS, 216 p. (2007).
 19. Nash, J.E. and Sutcliffe, J.V. "River flow forecasting through conceptual models: Part I, a discussion of principles", *Journal of Hydrology*, **10**(3), pp. 282-290 (1970).
 20. Baker, J.W. "An Introduction to probabilistic seismic hazard analysis (PSHA)", version 1.3, p. 72 (2008) (Available online : <http://www.stanford.edu/~bakerjw>).